

**Fig. S1 (Wang et al 2017)**

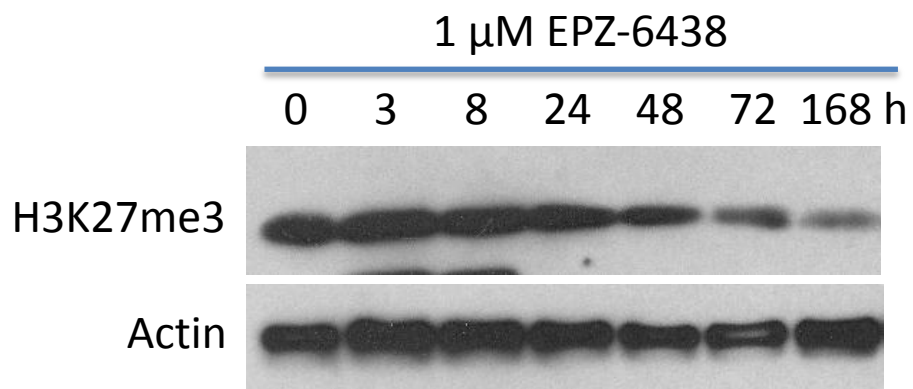


Fig. S2 (Wang et al 2017)

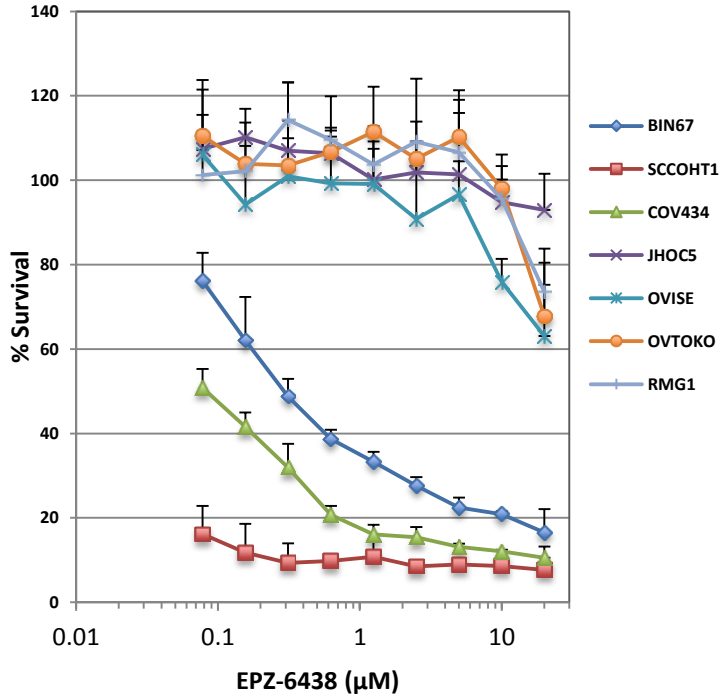
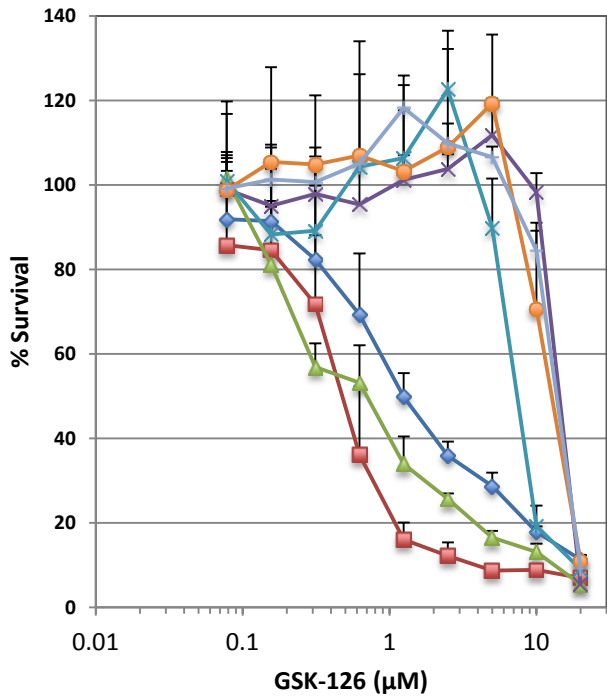
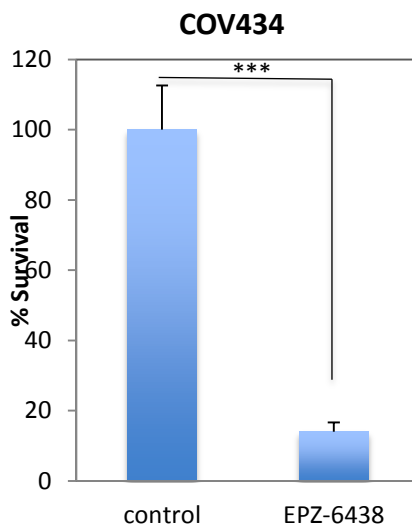
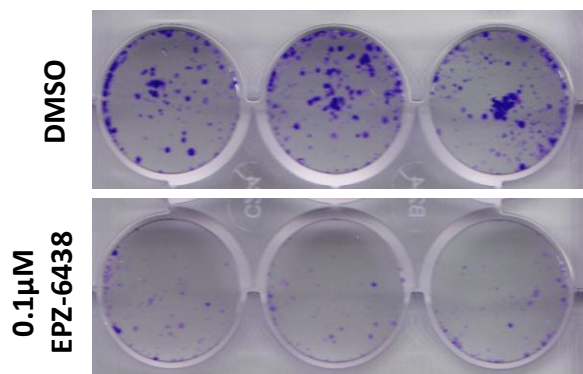
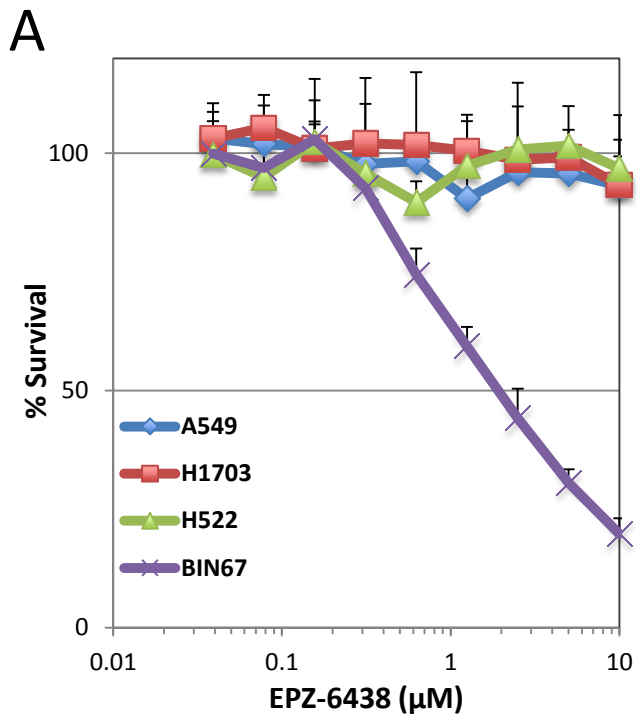


Fig. S3 (Wang et al 2017)



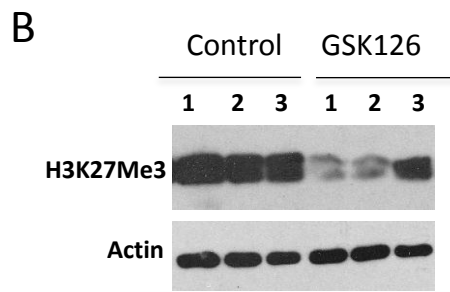
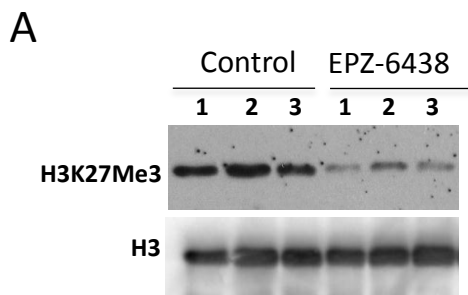
**Fig. S4 (Wang et al 2017)**



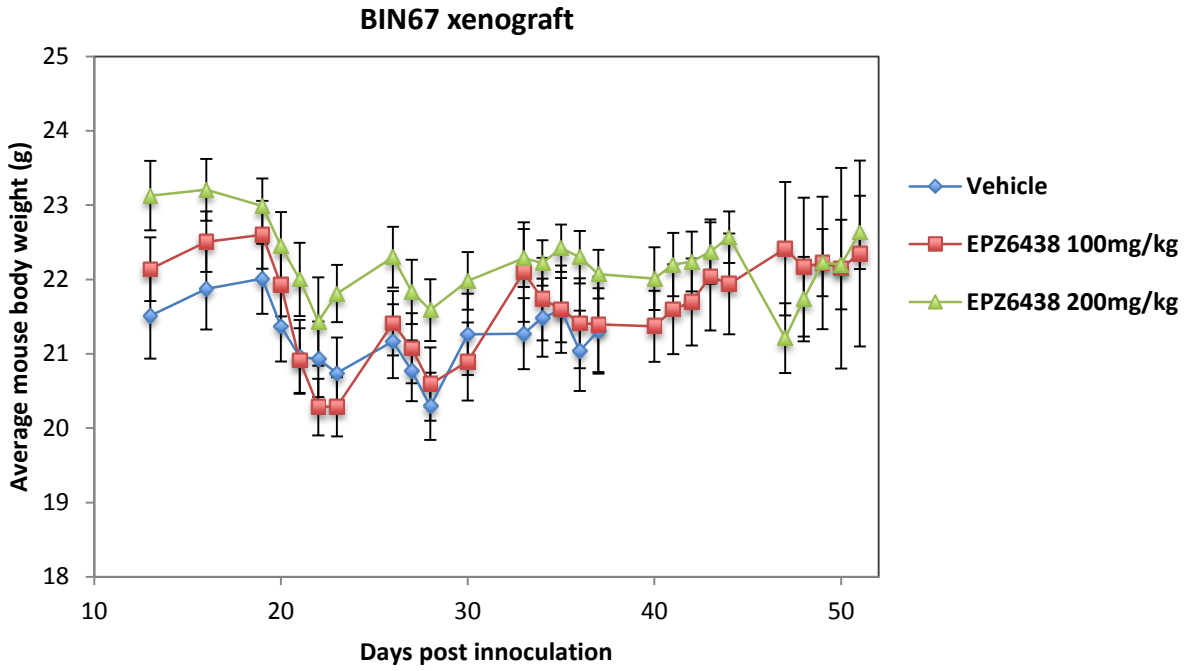
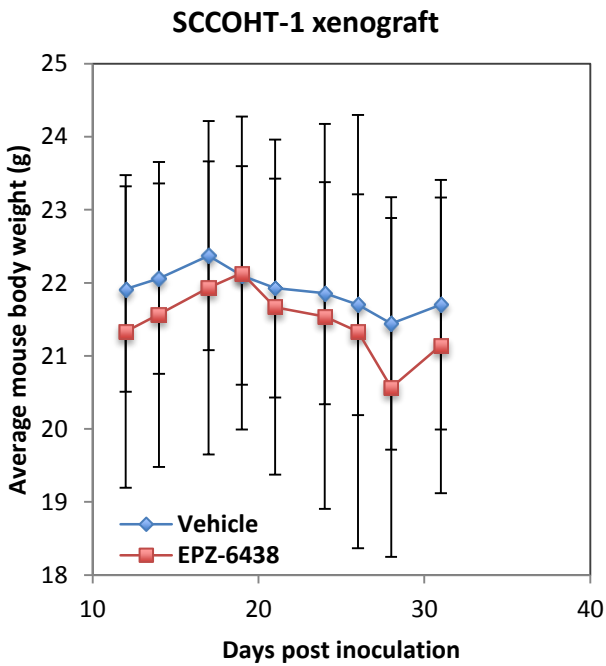
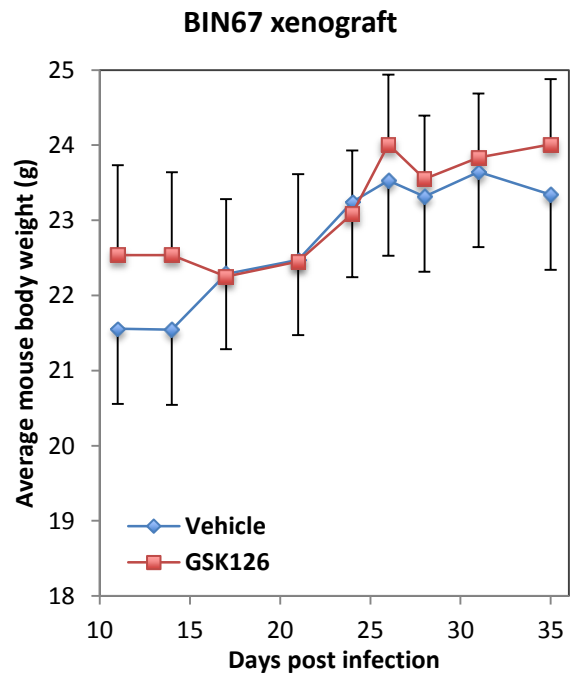
**B**

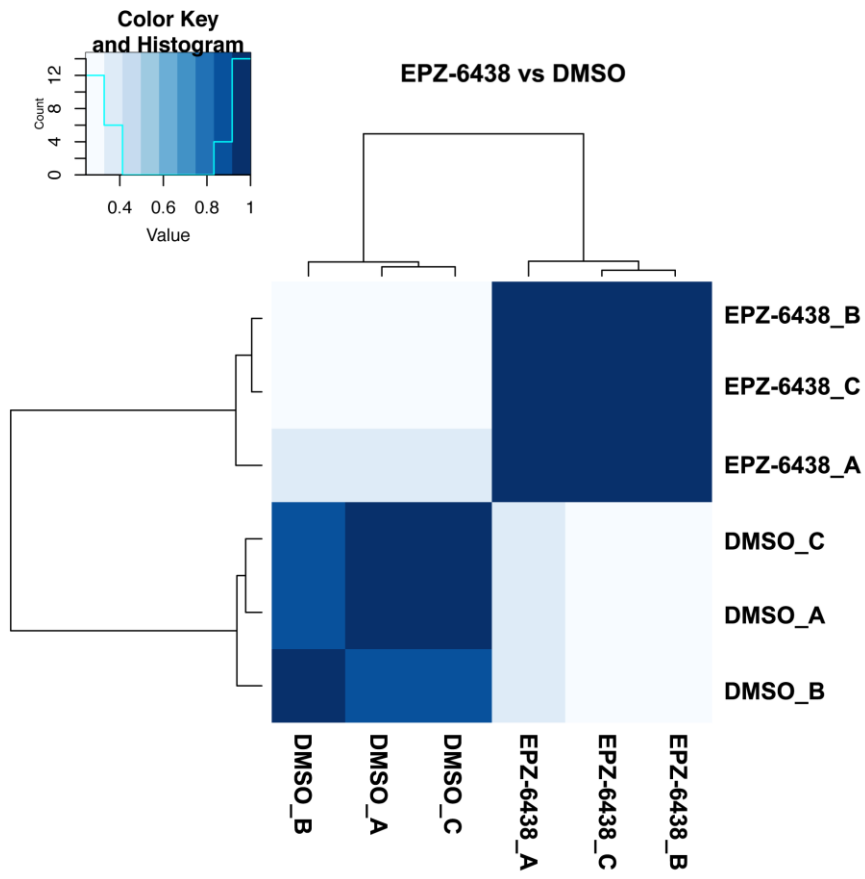
Cell line	SMARCA4	SMARCA2	EPZ6438 IC50 ( $\mu\text{M}$ )
A549	-	+	>10
H1703	-	-	>10
H522	-	-	>10
BIN67	-	-	2.1

Fig. S5 (Wang et al 2017)



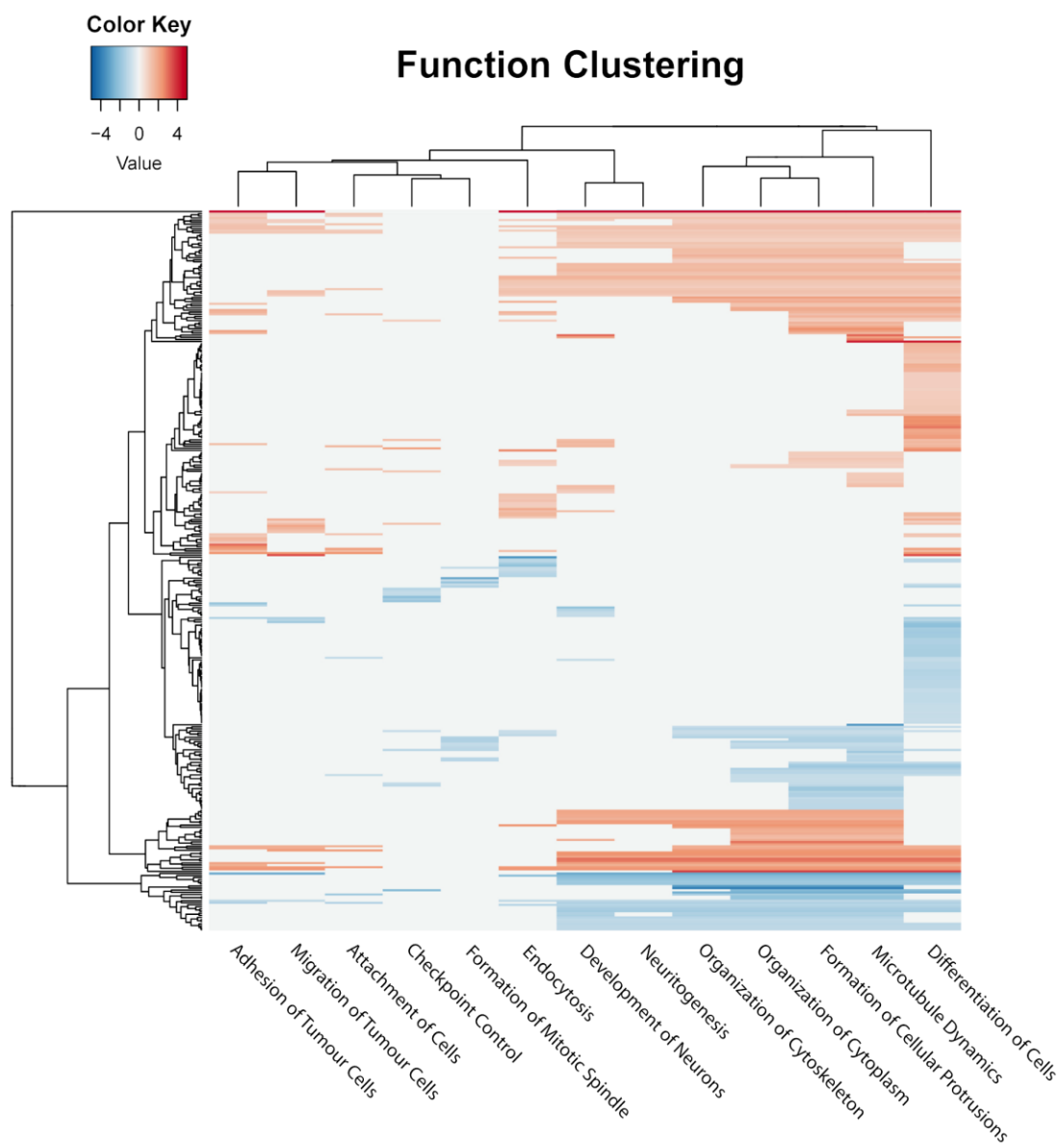
**Fig. S6 (Wang et al 2017)**

**A****B****C****Fig. S7 (Wang et al 2017)**

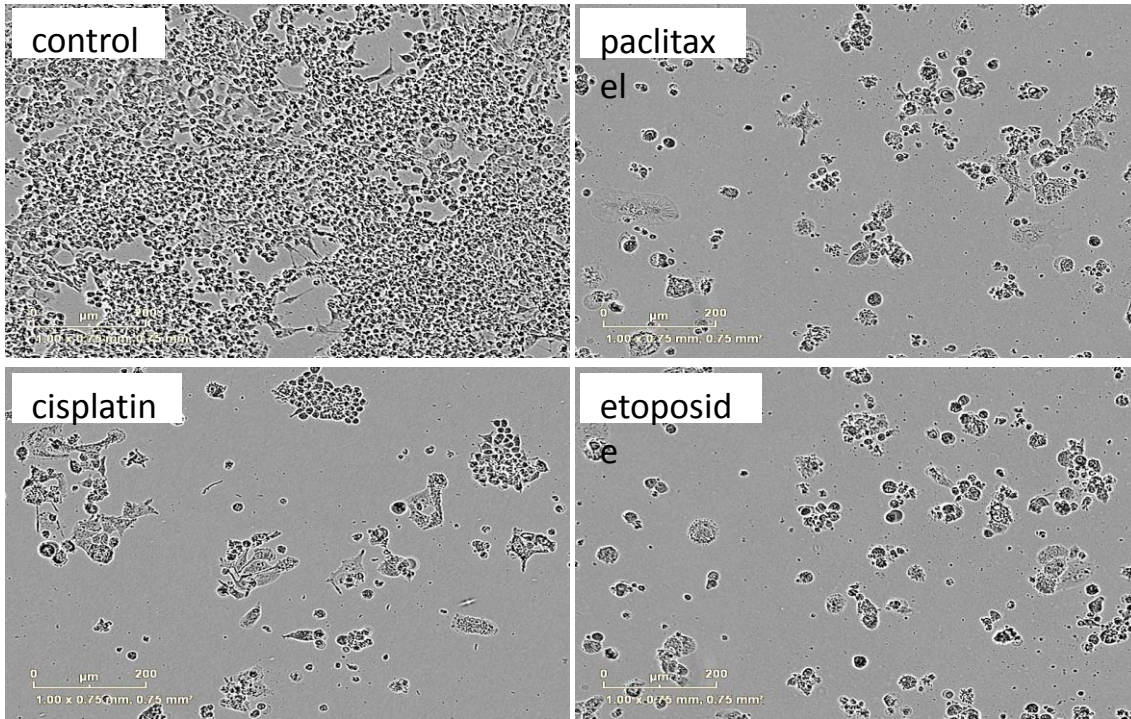


**Fig. S8 (Wang et al 2017)**





**Fig. S9 (Wang et al 2017)**



**Fig. S10 (Wang et al 2017)**